ANALISI ENDOSCOPICA - Foro D

Caratteristiche dello strumento

STRUMENTAZIONE:

Videoendoscopio
XL Vu Video Probe, GE

L = 3000 mm Ø = 6,1 mm

Direzione di vista: Frontale

Campo visivo: 50°

Profondità di campo: 50 mm - ∞

Immagini del foro

Vista del foro dal piano terra

Sequenza degli strati individuati durante l'endoscopia

1. Vista dell'impalcato ligneo a livello del pavimento

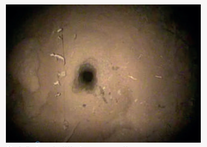

2. Vista dell'intercapedine

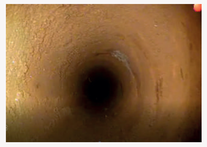

3. Vista della volta piena in laterizio. Le parti grigie che sono i giunti di malta tra i corsi

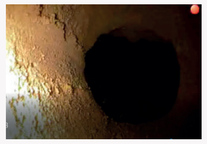

4. La videocamera attraversa la volta in laterizio ed esce nella stanza sottostante

Localizzazione del foro

Piano terra

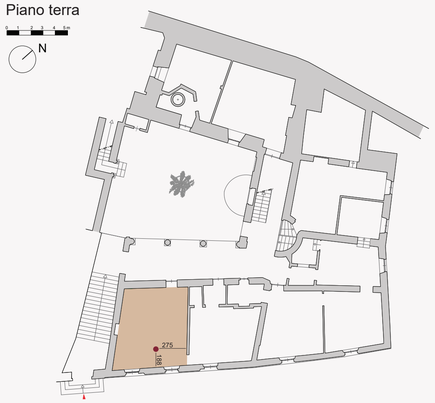

Sequenza della stratificazione del solaio ispezionato

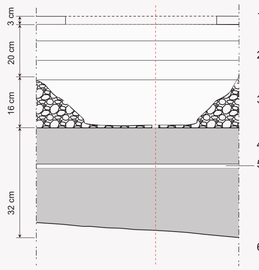

1. Pavimento in legno
2. Intercapedine
3. Riempimento
4. Volta in laterizio
5. Giunto di malta
6. Stanza sottostante

ANALISI ENDOSCOPICA - foro G

Localizzazione del foro

Piano secondo

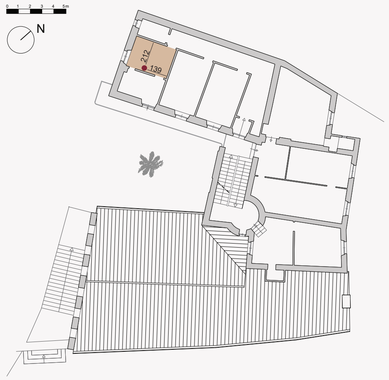

Immagini del foro

Vista del foro dal piano secondo

Vista del foro dal piano primo

Sequenza degli strati individuati durante l'endoscopia

1. Ingresso della sonda nel foro

5. Vista dall'intercapedine dello strato di intonaco sottostante i laterizi

2. Vista del primo corso di laterizi

6. Vista della struttura lignea portante del cannicciato

3. Giunto di malta tra i due strati di laterizi

7. Vista dell'intercapedine tra la volta in laterizio e il cannicciato

4. Vista del secondo corso di laterizi e dell'intonaco sottostante

Sequenza della stratificazione del solaio ispezionato

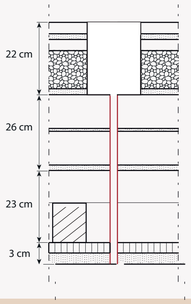

1. Pavimentazione in marmette
2. Malta cementizia
3. Pavimentazione in laterizio
4. Riempimento con inerti
5. Doppio corso di laterizi con giunto di malta
6. Intonaco
7. Struttura portante lignea del cannicciato
8. Canniccio
9. Intonaco

RESISTOGRAFIA

Caratteristiche dello strumento

STRUMENTAZIONE:

Resistograph 1280 IML - INSTRUMENTA

Velocità perforazione: 20 cm/minuto

Lunghezza profilo: 28 cm

Documentazione fotografica

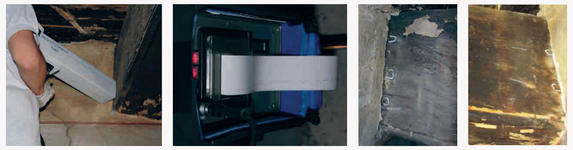

FORI LATO SINISTRO DELLA TRAVE

Localizzazione del foro

Piano terra

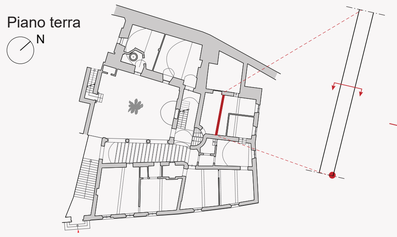

Analisi del profilo

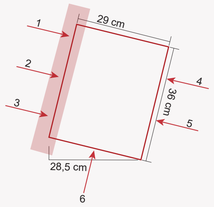

FORO 1_ Data 03/10/2016
Ora 14:51:47

Inclinazione della penetrazione

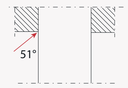

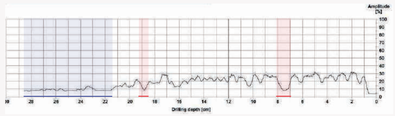

Posizione perforazione profilo sinistro

Lunghezza totale perforazione: 28 cm (da 0.6 cm a 28.6 cm)

- Diminuzione della resistenza alla penetrazione degrado: da 6.3 cm a 7.5 cm
  da 17.8 cm a 18.6 cm
- Diminuzione della resistenza - degrado del tratto terminale del profilo: da 20.9 cm a 28 cm

FORO 2_ Data 03/10/2016
Ora 14:56:12

Inclinazione della penetrazione

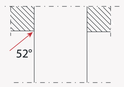

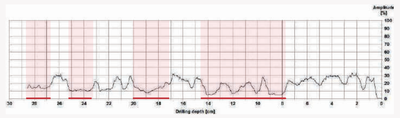

Posizione perforazione profilo sinistro

Lunghezza totale perforazione: 28.3 cm (da 0.3 cm a 28.6 cm)

- Diminuzione della resistenza alla penetrazione degrado: da 7.4 cm a 14.1 cm
  da 16.8 cm a 19.6 cm
  da 23.1 cm a 24.8 cm
  da 26.2 cm a 28.3 cm

FORO 3_ Data 03/10/2016
Ora 15:00:22

Inclinazione della penetrazione

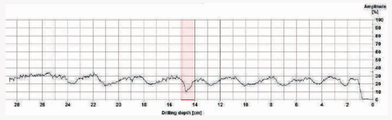

Posizione perforazione profilo sinistro

Lunghezza totale perforazione: 27.7 cm (da 0.9 cm a 28.6 cm)

- Diminuzione della resistenza alla penetrazione degrado: da 13.2 cm a 14.2 cm

FORI LATO DESTRO DELLA TRAVE

Localizzazione del foro

Piano terra

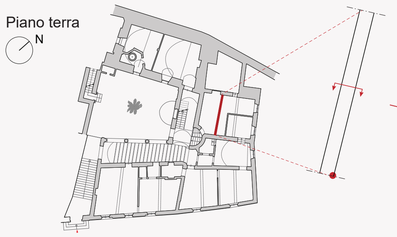

Analisi del profilo

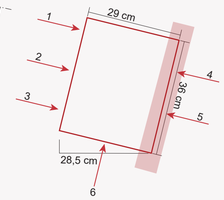

FORO 4_ Data 03/10/2016
Ora 15:11:10

Inclinazione della penetrazione

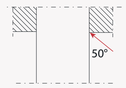

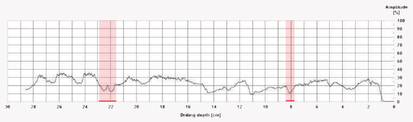

Posizione perforazione profilo destro

Lunghezza totale perforazione: 27,6 cm (da 0.9 cm a 28.5 cm)

- Diminuzione della resistenza alla penetrazione degrado: da 6.9 cm a 7.4 cm
  da 20.7 cm a 21.9 cm

FORO 5_ Data 03/10/2016
Ora 15:18:08

Inclinazione della penetrazione

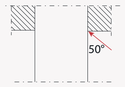

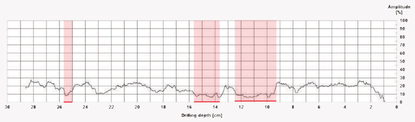

Posizione perforazione profilo destro

Lunghezza totale perforazione: 27.7 cm (da 0.9 cm a 28.6 cm)

- Diminuzione della resistenza alla penetrazione degrado: da 8.4 cm a 11.6 cm
  da 12.6 cm a 14.8 cm
  da 24.1 cm a 24.7 cm

Politecnico di Torino
Dipartimento di Architettura e Design
Corso di Laurea Magistrale in Architettura per il Restauro
e la Valorizzazione del Patrimonio - A.A. 2017/2018

Tesi di Laurea Magistrale
RELATRICE: **Professoressa M. MATTONE**
CORRELATORE: **Professore C. TOSCO**
CANDIDATA: **Giulia Bergamo - s228939**

Il Palazzo Acaja di Pinerolo: approfondimento delle indagini conoscitive per la sua valorizzazione

Diagnostica non distruttiva
Endoscopia - Resistografia

TAV. 1